

徳山高専 正員 大成博文・佐賀孝徳・山本恭子 山口大学 斎藤 隆

1.はじめに

従来の乱流觀は乱雑で不規則なものであるとされていたが、最近の乱流研究の大好きな柱のひとつとして秩序構造(coherent structure)を見出す課題が指摘されていく¹⁾。本論は、秩序構造の中でも最も重要な挙動のひとつとされ、しかも未解明点の多い内層内の縦渦(streamwise vortex)を可視化し、その構造を検討したものである。内層内の秩序構造が縦渦的挙動を示すという指摘は、Kline²⁾, Kim³⁾, Blackwelder⁴⁾, Brodkey⁵⁾などによってなされているが、いずれも渦の詳細な構造を考察するに至っていない。本研究に用いた手法は、レーザースリット法と称されるものであり⁶⁾、トレーサーに螢光染料を用いて従来にない鮮明な縦渦構造が可視化された。

2. 実験方法

実験水路および装置の説明は文献¹⁾にあり省略する。レーザースリットは、Fig.1に示すように、2Wのアルゴンレーザーピームをアリズムに通過させることによってつくられた。トレーサーにはフルオレセインナトリウム水溶液(比重1.005)が用いられ、200cc程度が上流ご一處にビーカーで注入された。トレーザーは流下とともに路床壁面に滞留し、流体運動自身によって巻きあがられ、スリット面を通過していく。撮影はトレーザー注入直後の影響がなくなつて鏡を通して行われた。鏡の位置はスリット面に影響ないとみて下げられた。

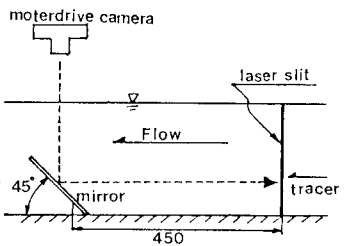


Fig.1 Lazer slit flow visualization system

3. 縦渦構造

Fig.2(a)～(d)はモータードライブカメラで連続的に縦渦を撮影した一例である。写真上端に水表面(△印)、下端には路床壁面(◆印)が存在する。撮影が鏡の反射を通して行われたことから左右が反転するため、写真是上流の水中より観察したとすればよい。流れ場の条件は、 $Re = 3660$ ($\therefore Re = U_{max}H/\nu$)、 $U_{max} = 5.53 \text{ cm/s}$ 、 $H = 6.62 \text{ cm}$ 、 $U_c = 0.29 \text{ cm/s}$ である。この場合 U_c はレーザー流速計で平均流速分布を計測し、対数則が成立つ勾配より逆算して求めた。また、水深(外層スケール)と内層スケールの相互関係は $H = 191 \nu/U_c$ となる。従って、この流れ場では内層と外層の境界がほぼ半水深の位置に存在している。さて、ここで内層内の縦渦の挙動を中心に考察する。Fig.2(a)～(d)には多数の縦渦が可視化されている。それらの定性的な特徴を次に列挙する。

(1)縦渦はほとんどの場合対称形で形成される。(①1, 2)

(2)縦渦対をなすそれぞれの渦の強さは常に異なる。そのことが縦渦対の不安定性を形成し、常に相対的に渦の強さが大きい方へと移れる。

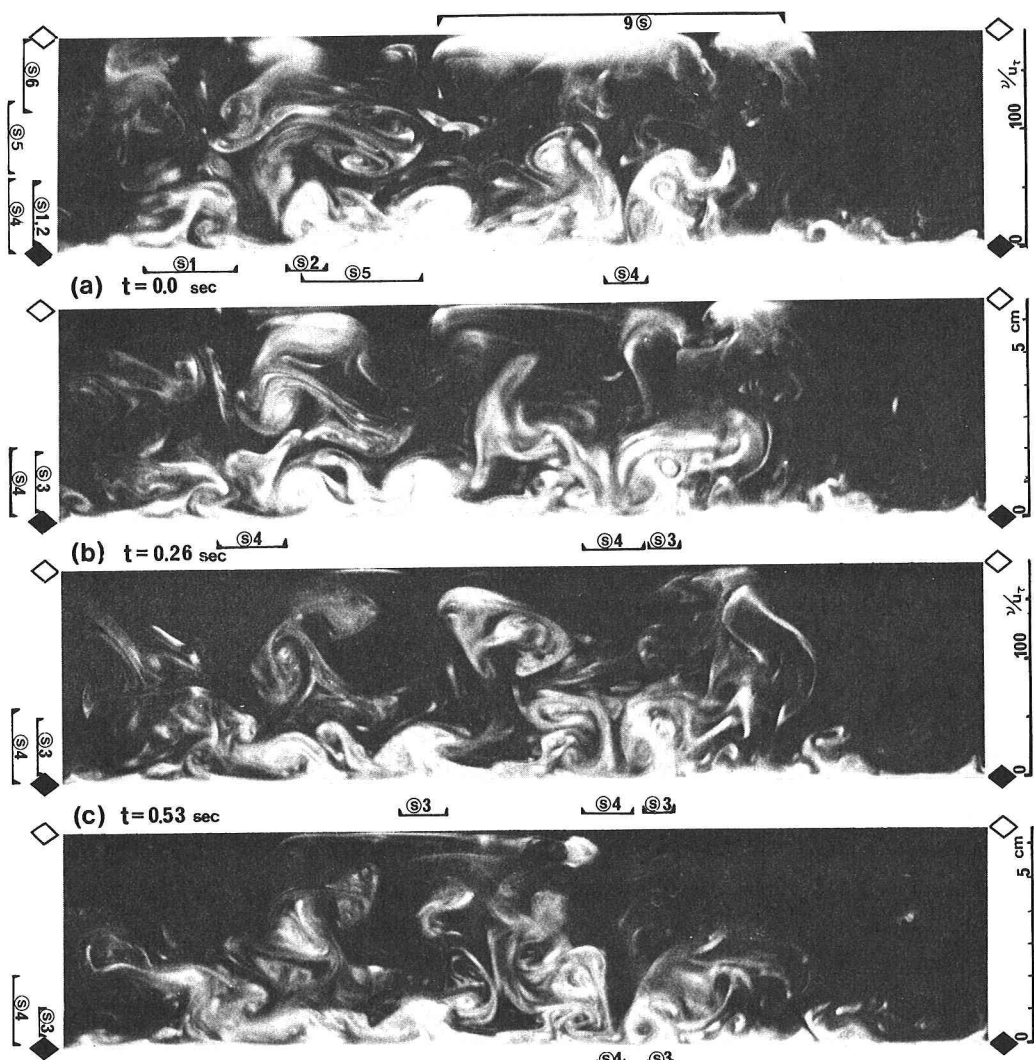
(3)縦渦対の形成は壁面近く、とくにバッファーゾーン($7.10 \leq y^+ \leq 30$)内に常に多く見られる。壁近くの縦渦対は壁面に付着するかのように斜面に形成されていて、渦対の根本では剥離を伴った上昇流が誘起されている。

また、渦対の外側では渦によって下降流が誘起され、隣同士の渦によってその下降流がさらに強められていく。(③3:剥離を伴う上昇流を誘起する渦対, ④:渦の相互作用で誘起された下降流)

(4)壁近くに発生した縦渦対は壁面から遠ざかるにつれて発達するが、単独の渦対がそのまま水表面近くにまで達する現象は見あたりない。壁面近くから発達する渦対は流れ方向にほぼ一定の角度で傾斜して流下する。

そのことは、画面の初めに常に背の高い縦渦対が現われ、だんだんと低くなつて写ることから明らかである。

(5)壁近くの縦渦対のスケールは小さく、外層内では相対的に大規模化する。しかし、水深規模の縦渦が単独で形成される場合は観察されなかつた。(⑤5:大規模渦対の典型)



(d) $t = 0.79$ sec Fig. 2 Sequence of spanwise section view of the turbulent flow
 ◇: water surface, ◆: wall surface

Fig. 2 (a)について、写真とネガの両方を比較してから詳細なトレーサーのトレースを行った一例がFig. 3であり、そのうち縦渦のみを描いたのがFig. 4である。この両トレースからも前述の縦渦の特徴のいくつかが一層明瞭である。

4. おわりに

レーザースリット法による横断面可視化によって内層内の縦渦の特徴を明らかにした。この方法で高速撮影を行い、可視化された渦を一枚毎に連ねてゆくと三次元構造が明らかとなる。そのデータは紙数の関係で省略した。外層内の大規模構造(Fig. 2(a), Fig. 3, 4における⑥が代表例)についても今後考察を深めてゆく予定である。



Fig. 3 Sketch of the figure 2(a)



Fig. 4 Sketch of the streamwise vortices

参考文献

- 1) 佐藤: 機械力学, 4(1980) 2) Kline他: J.F.M., 30 (1967) 3) Kim他: J.F.M., 50, (1971) 4) Blackwelder他: J.F.M., 76 (1976) 5) Bradkey他: J.F.M., 13 (1974) 6) 成他: 流れの可視化, 3, 10 (1983) 7) 成他: 水理講演会論文集, No. 27 (1983)